

مکانیابی مسیر راه بندبن-لایی در جنوب نکا با استفاده از GIS

مریم فتاحی‌بندپی^{*}، محمد غفوری^۱، غلامرضا لشکری‌پور^۲ و ناصر حافظی‌مقدس^۳

(۱) دانشجوی دکترای زمین‌شناسی مهندسی، گروه زمین‌شناسی، دانشکده علوم پایه، دانشگاه فردوسی مشهد، fattahi.maryam.b@gmail.com

(۲) استاد گروه زمین‌شناسی، دانشکده علوم پایه، دانشگاه فردوسی مشهد

(۳) دانشیار گروه زمین‌شناسی، دانشکده علوم پایه، دانشگاه فردوسی مشهد

^{*}) عهده‌دار مکاتبات

دریافت: ۹۰/۹/۱۵؛ دریافت اصلاح شده: ۹۱/۲/۴؛ پذیرش: ۹۱/۲/۱۰؛ قابل دسترس در تارنما: ۹۱/۷/۲۰

چکیده

طراحی مسیر جاده نیاز به یک فرآیند ارزیابی گستردۀ به منظور شناسایی بهترین راه ممکن، برای عبور جاده دارد. در طراحی شبکه راه مناسب، باید عواملی مانند شبیه منطقه، کاربری اراضی و نوع خاک در نظر گرفته شود که از جمله عوامل ناپایداری دامنه‌ها در امتداد مسیر جاده‌ها به خصوص در مناطق جنگلی می‌باشند. منطقه مورد مطالعه در این پژوهش در شرق استان مازندران، جنوب شهرستان نکا و در محدوده جاده بندبن-لایی واقع شده است. در این مقاله زمین لغزش‌های رخداده در محدوده مورد مطالعه که باعث به وجود آمدن مشکلات زیادی در این منطقه شده است، مورد بررسی قرار گرفت. با توجه به بالا بودن تعداد زمین لغزشها در جاده قدیمی بندبن-لایی اقدام به شناسایی مسیر جدیدی با ضرب اینمی بیشتر گردید. بدین منظور، تعدادی از عوامل زمین‌شناسی و ژئومرفولوژیکی تأثیر گذار بر ناپایداری‌های دامنه‌ای در این منطقه، مطالعه و بررسی شد. همچنین موقعیت جغرافیایی زمین لغزش‌های رخداده در این مسیر و اطراف آن با استفاده از GPS ثبت شده و با استفاده از سیستم اطلاعات جغرافیایی (GIS) اقدام به تهیه لایه‌های رقومی و رستری فاکتورهای موثر در وقوع زمین لغزش‌های این منطقه گردید. نتیجه به دست آمده در نقشه‌ای که مناسبترین و کوتاه‌ترین مسیر جاده را بین دو نقطه مورد نظر در منطقه مورد مطالعه مشخص می‌کند، ارائه گردید.

واژه‌های کلیدی: زمین لغزش، ضرب اینمی، مازندران، مسیر جدید.

۱- مقدمه

لغزش در دامنه‌های شمالی رشته کوه البرز شده است. با توجه به اهمیت خطرات و خسارات ناشی از زمین لغزش‌ها، مطالعات مختلفی در سطح کشور صورت گرفته است که از آن جمله می‌توان به ارزیابی عوامل و ارائه راهکار جهت تثبیت زمین لغزش در منطقه پادنای سمیرم (عنایتی مقدم و همکاران ۱۳۹۰)، پهنه‌بندی خطر ناپایداری دامنه‌ها در حوزه آبریز بابلرود (فتحی‌بندپی ۱۳۸۶)، مدل‌های منطق فازی و سنجش از دور جهت پهنه‌بندی خطرزدین لغزش در حوضه مانند تغییرات کاربری اراضی و ایجاد راه و سازه، باعث افزایش زمین

در محدوده طول جغرافیایی $30^{\circ} 53' 25''$ و $39^{\circ} 30' 53''$ شرقی و عرض جغرافیایی $36^{\circ} 33' 00''$ و $36^{\circ} 26' 30''$ شمالی واقع شده است (تصویر ۱).

جاده مورد بررسی در زیر حوضه لکشا از حوضه آبخیز نکارود قرار دارد. در قسمت‌های بالا دست حوضه نکارود، بارندگی کم و جریان رودخانه بیشتر ناشی از ذوب برف و دبی چشممه‌ها می‌باشد، اما قسمت‌های میانی حوضه، دارای سیلاب‌های ناشی از بارندگی است. بیشترین بخش این منطقه از پوشش جنگلی متراکم در منطقه‌ای کوهستانی تشکیل شده است.

۳- فصوصیات زمین‌شناسی و آئومورفولوژیکی منطقه

منطقه مورد بررسی در بخش مرکزی زون ساختمانی البرز واقع شده است. این منطقه از نظر ساختمانی-رسوبی در زون گرگان-رشت (درویش‌زاده ۱۳۸۰) قرار دارد. این زون دارای مناطقی است که حاشیه‌های خزر را در سواحل ایران محدود کرده و در قسمت شمالی گسل البرز قرار دارد. چین‌های منطقه کم ارتفاع و کم شیب می‌باشند. رسوبات نئوژن خزر و کنگلومرات پلیوسن فوکانی، تحت تأثیر کوه‌زایی آپی در کرتاسه پایینی-ترشیاری و طی فاز کوه‌زایی پاسادینین در اوخر پلیوسن-اوایل کواترنر چین خورده‌اند.

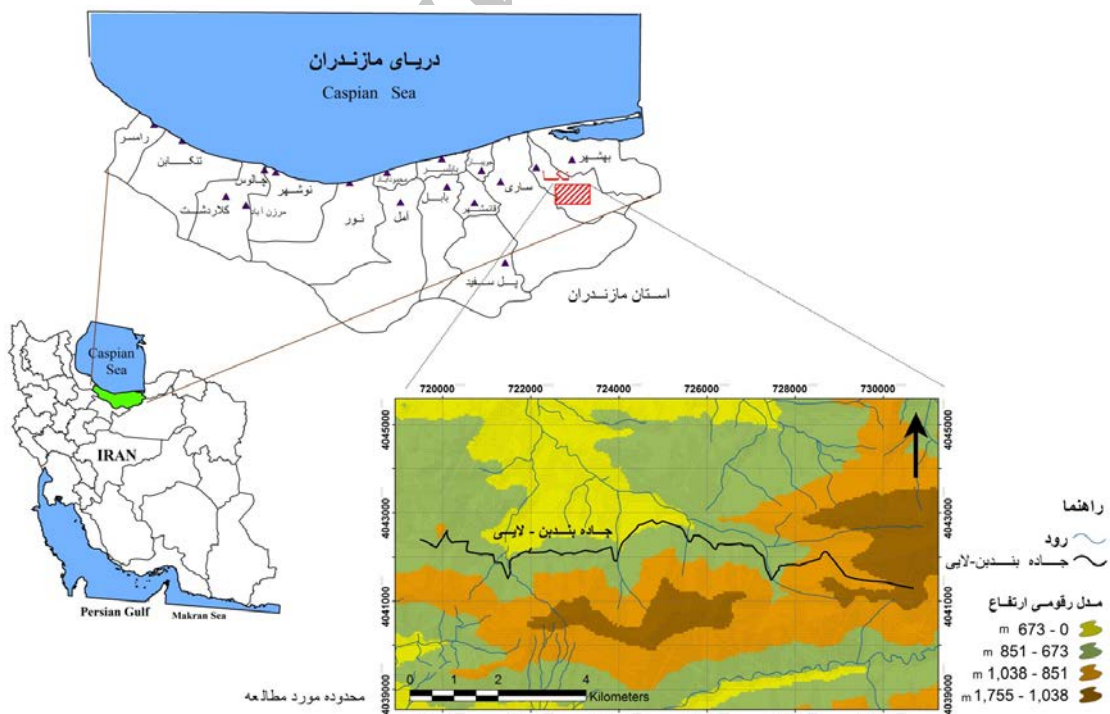
آبخیز لاجیم (متکان و همکاران ۱۳۸۸)، تأثیر کاربری زمین در گسترش ناپایداری‌های دامنه‌ای حوضه‌ی آبریز نکارود & (Uromiehy & Safaei 2000) بررسی عوامل موثر بر وقوع زمین لغزش‌ها، پهنه‌بندی

خطر زمین لغزش در منطقه اسکل آباد خاش (رهنماد و همکاران ۱۳۸۹) و پهنه‌بندی خطر ناپایداری دامنه‌ها در تاقدیس کنگان به روشن آنالاگان (باقری‌مهرورز و همکاران ۱۳۸۸) اشاره نمود. یکی از مهم‌ترین سازه‌های حیاتی که در این استان تحت تأثیر زمین لغزش قرار می‌گیرد راه‌های ارتباطی و جاده‌ها می‌باشند، این راه‌ها پیوند دهنده مناطق جمعیتی در مناطق کوهستانی هستند. مسدود شدن راه‌ها مشکلات اساسی را در رفت و آمد و زندگی مردم ایجاد نموده است.

جاده بندین-لایی واقع در شهرستان نکا یکی از مسیرهایی است که تحت تأثیر این پدیده طبیعی قرار گرفته است. در این تحقیق، با توجه به بالا بودن تعداد لغزش‌های رخ داده در این جاده و هزینه بالای تثبیت آنها، اقدام به شناسایی و پیشنهاد مسیری جدید در این منطقه با توجه به عوامل تأثیرگذار بر ناپایداری دامنه‌ها گردید.

۴- موقعیت منطقه مورد مطالعه

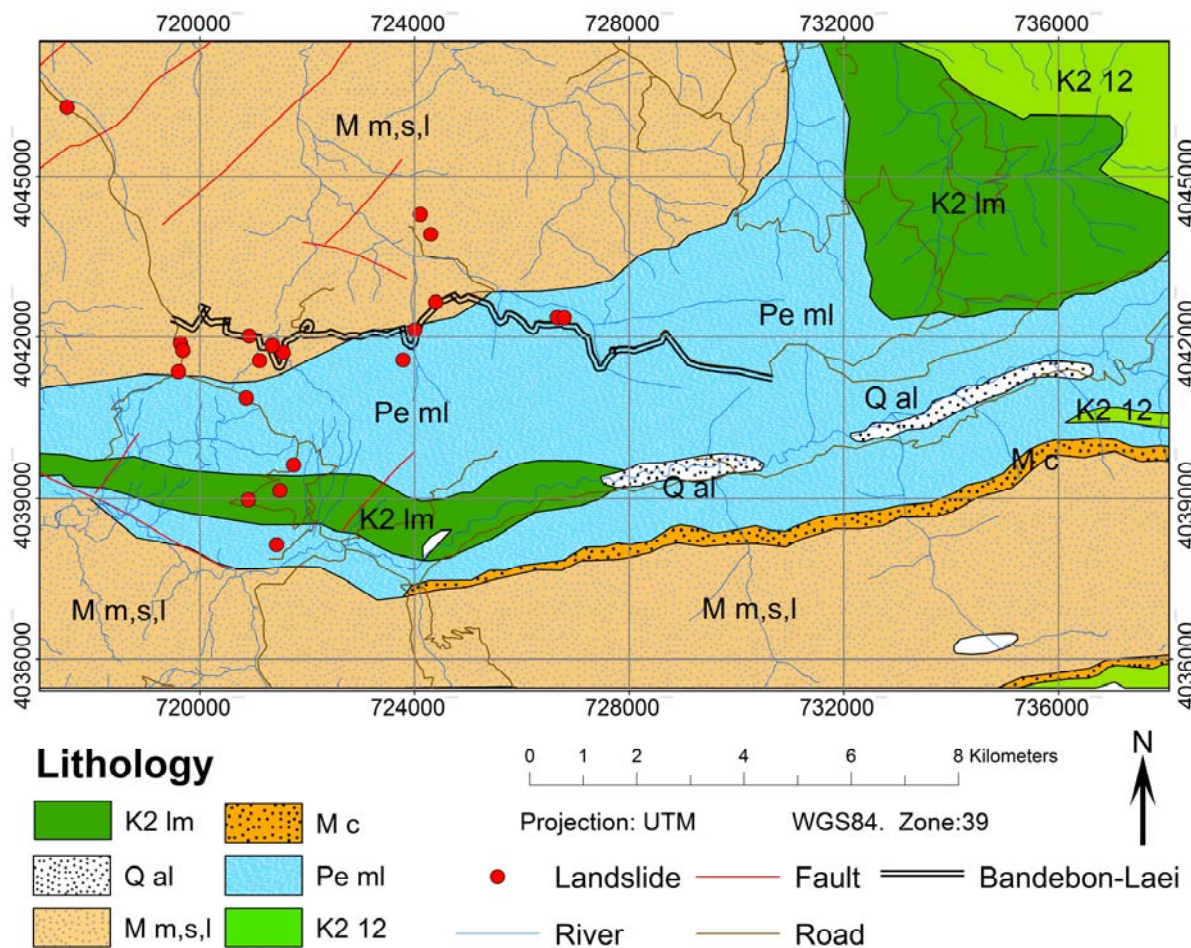
منطقه مورد مطالعه در دامنه‌های شمالی رشته کوه البرز و در شرق استان مازندران (جنوب شرقی شهر نکا) قرار گرفته است. این منطقه



تصویر ۱- موقعیت محدوده مورد مطالعه، شرق استان مازندران، شهرستان نکا (برگرفته از نقشه توپوگرافی ۱:۵۰۰۰۰ سازمان جغرافیایی ارتش ۱۳۸۴).

کنگلومرا) و Peml (مارن، آهک و مارن‌سیلیتی) می‌باشد که دارای گسترش شرقی-غربی در منطقه هستند. تعدادی گسل نیز با روند-NE-SW در شمال و غرب منطقه قابل مشاهده می‌باشند (تصویر ۲). مشخصات واحدهای زمین‌شناسی منطقه در جدول ۱ ارائه شده است.

از خصوصیات مهم این زون دگر شبیه، لایه‌های میوسن بر روی سنگ‌های کرتاسه و نبود سنگ‌های اثوسن و الیگوسن است (تصویر ۲). بیشترین گسترش لیتوژئیکی در محدوده مورد مطالعه مربوط به واحدهای I, s, Mm (مارن، ماسه‌سنگ مارنی، آهک ماسه‌ای، مشخصات واحدهای زمین‌شناسی منطقه در جدول ۱ ارائه شده است.



تصویر ۲- محدوده مورد مطالعه بر روی نقشه ۱:۲۵۰۰۰۰ ساری (وحدتی دانشمند و سعیدی ۱۳۶۹).

جدول ۱- مشخصات واحدهای زمین‌شناسی منطقه مورد مطالعه.

دوران	دوره	کد	لیتوژئی
سنوزوییک	کواترنری	Q al	رسوبات آبرفتی
سنوزوییک	میوسن	M c	کنگلومرا، ماسه سنگ
سنوزوییک	میوسن	Mm,s,l	مارن، ماسه‌سنگ مارنی، سنگ آهک ماسه‌ای، کنگلومرا
سنوزوییک	پالئوسن	PEml	مارن، سنگ آهک، مارن سیلیتی
مزوزوییک	کرتاسه بالایی	K2I2	سنگ آهک ضخیم تا توده‌ای
مزوزوییک	کرتاسه بالایی	K2Im	سنگ آهک مارنی، مارن، مارن سیلیتی

همکاران ۱۳۸۹). از نمونه کارهای علمی و تحقیقاتی انجام شده در این

رابطه می‌توان به مطالعات حق‌شناس (۱۳۷۴)، پژم (۱۳۷۵)، بداغی

(۱۳۷۶)، جلالی (۱۳۸۱)، کهی‌میانجی (۱۳۷۷)، نیک‌اندیش (۱۳۷۸)

۱۴- (وش تحقیق

سابقه استفاده از روش‌های آماری جهت پیش‌بینی خطر ناپایداری

شیب در دنیا عموماً از دهه ۱۹۹۰ به بعد می‌باشد (رهنمایی و

فتاحی‌بندی و همکاران: مکانیابی مسیر راه بندین-لایی در جنوب نکا با استفاده از GIS

آرک جی‌آی‌اس (Arc GIS) تهیه و رقومی شدن که عبارتند از: لایه زمین‌لغزش‌های مسیر که با GPS در روی زمین ثبت و وارد سیستم جی‌آی‌اس (GIS) گردیدند، لایه‌های اطلاعاتی زمین‌شناسی و گسل‌ها که از روی نقشه زمین‌شناسی منطقه رقومی شدند، لایه‌های رقومی رودخانه و جاده که از روی نقشه توپوگرافی رقومی ۱:۲۵۰۰۰ رودخانه و جاده که از روی نقشه توپوگرافی رقومی ۱:۲۵۰۰۰ استخراج شدند، لایه رستری شب و جهت شب که از روی مدل رقومی ارتفاع دی‌ای‌ام (Digital Elevation Model, DEM) تهیه شدند و در نهایت لایه کاربری اراضی که از روی نقشه منطقه مورد نظر رقومی و وارد سیستم گردید (جدول ۲).

لایه‌ها پس از تهیه، در محیط جی‌آی‌اس (GIS) کلاسیندی شدند. برای لایه‌های رقومی خطی جاده، گسل و رودخانه، نقشه رستری فاصله از جاده، فاصله از رودخانه و فاصله از گسل تهیه شد تا هم بتوان کلاسیندی را انجام داد و هم به فرمت رستر برای استفاده در مراحل بعدی تبدیل نمود. بعد از تهیه لایه‌های رستری کلاسیندی آنها با توجه به شرایط منطقه و نمودار فراوانی تجمعی پیکسل‌ها در هر لایه انجام شد (تصاویر ۳، ۴ و ۵).

در ادامه نقشه شب و جهت شب از روی مدل ارتفاع رقومی دی‌ای‌ام (DEM) منطقه تهیه شد و با فرمت رستر مورد بررسی قرار گرفت. نقشه شب با توجه به اطلاعات موجود در لایه و خصوصیات منطقه در چهار طبقه کلاسیندی شد (تصویر ۶). در نهایت، لایه رقومی زمین‌شناسی با توجه به محتويات و نوع سازندها (تصویر ۲) و لایه رقومی کاربری اراضی با توجه تنوع و نوع کاربری‌های مختلف کلاسیندی شد (تصویر ۷).

سیارپور (۱۳۷۸)، سفیدگری (۱۳۸۱)، Van Westen & Soeters (1998)، Varnez 1984، Wang et al. 2011، Suh et al. 2011، Sarkar & Kanungo 2003، Rossi et al. 2010، Pradhan et al. 2010a، Pradhan et al. 2010b، Yong et al. 2006، Jaiswal et al. 2011، Chow et al. 2009، Lan et al. 2004، Nandi & Shakoor 2010) اشاره نمود. در این پژوهش برای به دست آوردن مناسب‌ترین مسیر، مراحل زیر انجام شد.

- الف- تهیه نقشه و لایه‌های اطلاعاتی مورد نیاز و کلاسیندی آنها.
- ب- انتخاب روش پهنه‌بندی مناسب و وزن دهی لایه‌ها بر اساس آن
- پ- تلفیق لایه‌های وزن دهی شده و تهیه نقشه پهنه‌بندی خطر زمین‌لغزش و طبقه بندی آن.

ت- معرفی نقشه پهنه‌بندی خطر زمین‌لغزش به نرم‌افزار به عنوان لایه مانع (Cost) و تعیین نقطه شروع مسیر و به دست آوردن دو لایه وزن‌دار فاصله مانع (Cost Distance) و جهت مانع (Cost Direction)

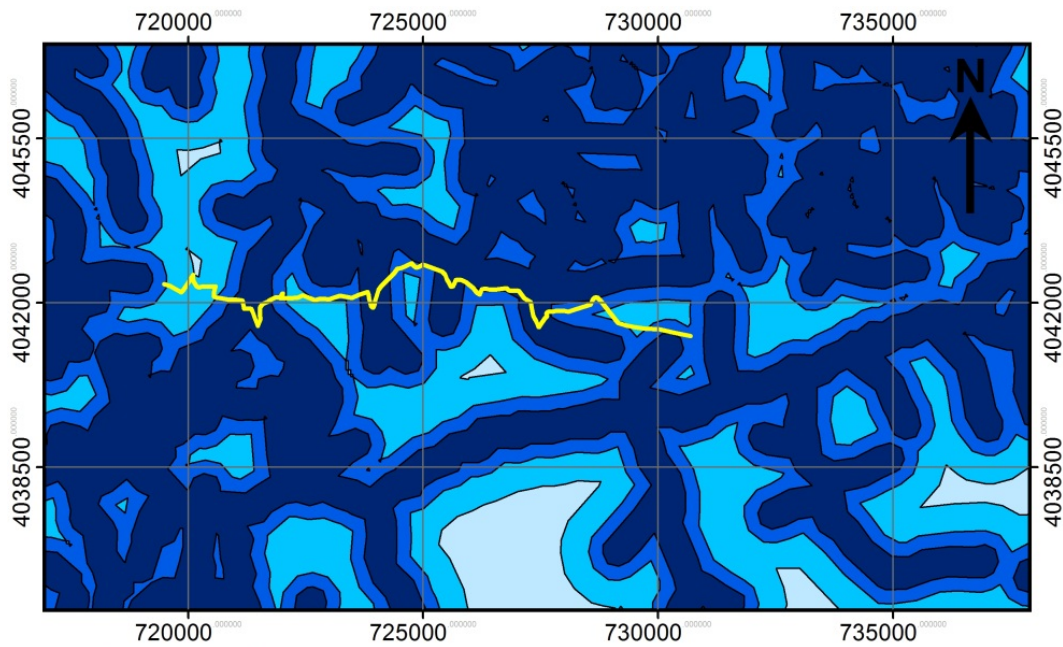
ث- معرفی دو نقشه اطلاعاتی فاصله از مانع، جهت مانع و نقطه پایان مسیر (هدف) به نرم‌افزار و به دست آوردن مناسب‌ترین مسیر با توجه به پهنه‌بندی انجام شده.

۱-۱- تهیه و کلاسیندی لایه‌های اطلاعاتی

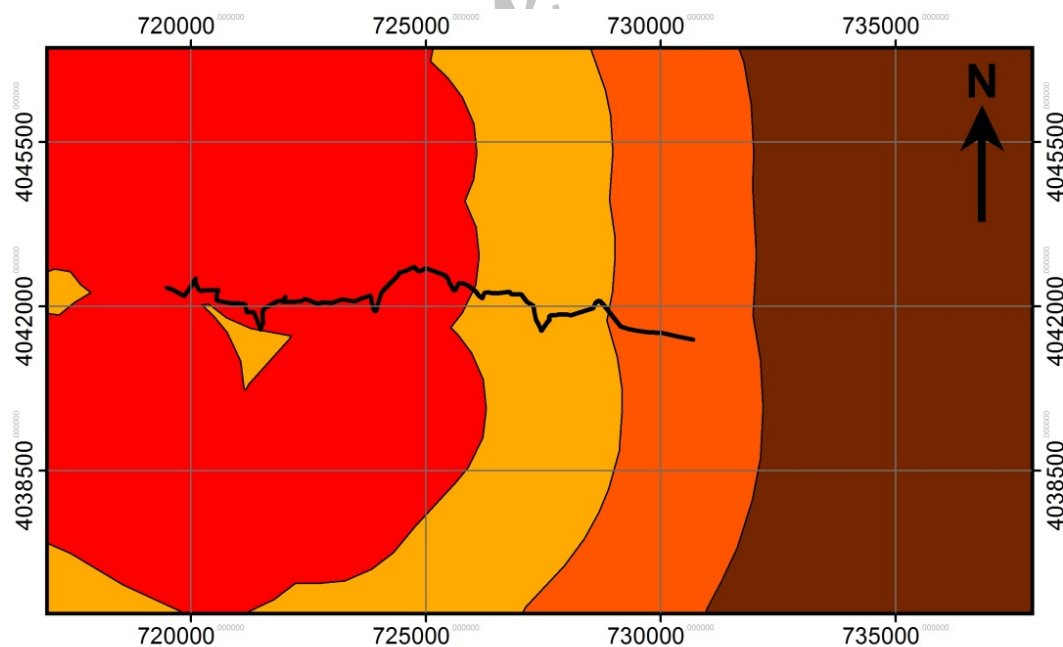
برای مطالعه زمین‌لغزش‌های مسیر بندین - لایی و شناسایی مسیری با ایمنی و ثبات بالاتر، اقدام به بررسی و شناسایی پارامترهای زمین‌شناسی و ژئومورفوژئیکی مختلف حاکم در محدوده مورد مطالعه گردید. به این منظور تحلیل‌ها و محاسبات با استفاده از سیستم اطلاعات جغرافیایی (Geographic Information System, GIS) صورت گرفت. در مرحله اول تعدادی از این عوامل در محیط نرم افزار

جدول ۲- لایه‌های رقومی مورد استفاده در تحقیق و منبع مورد استفاده برای تهیه این لایه‌های اطلاعاتی.

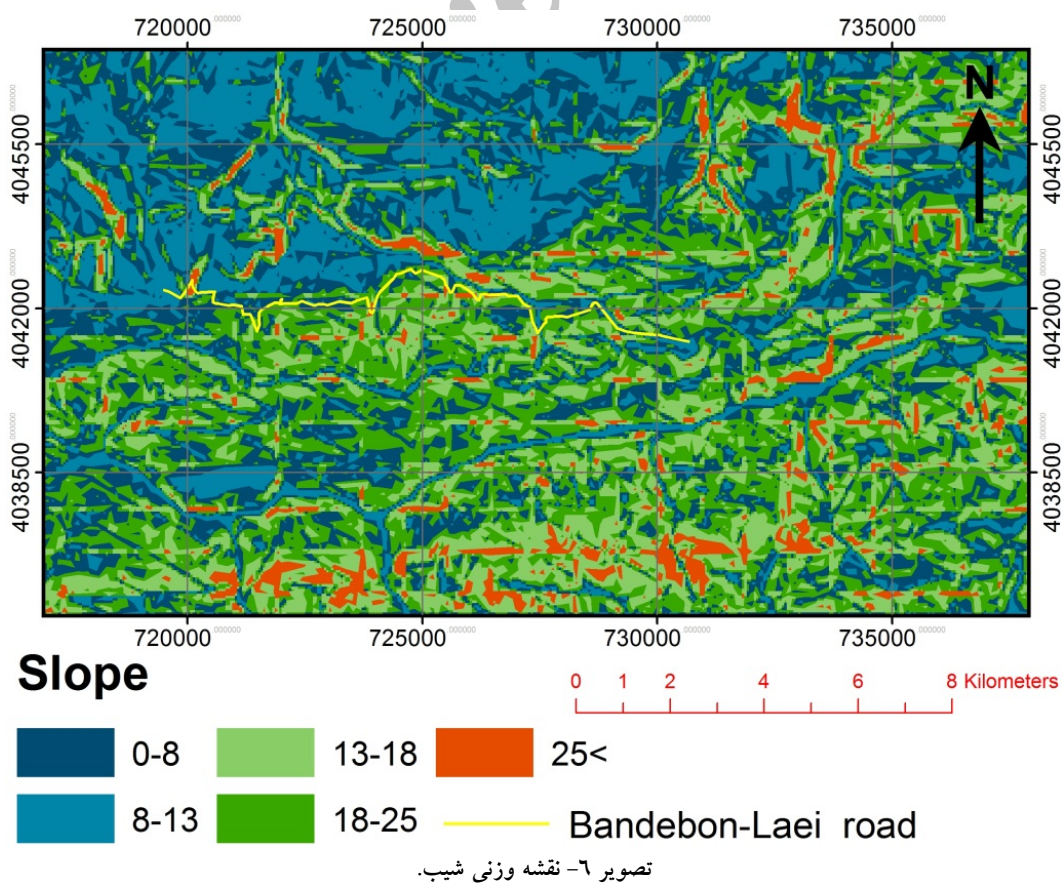
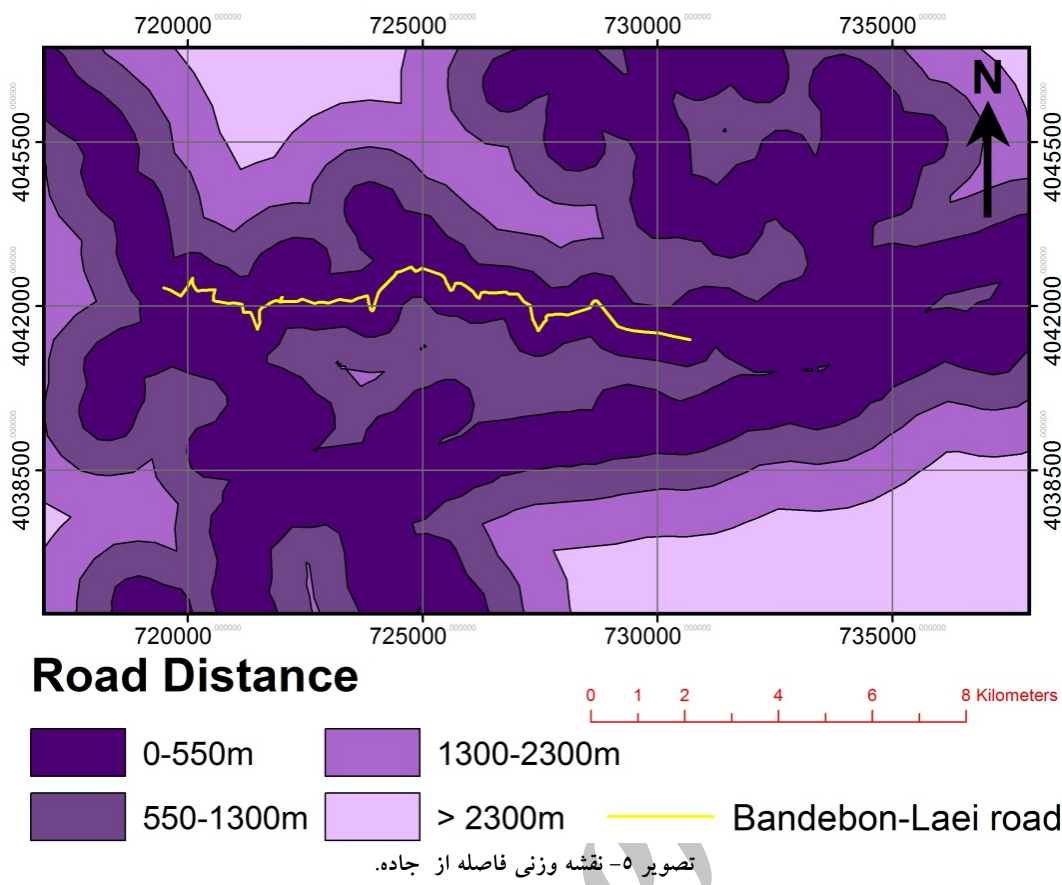
ردیف	لایه‌های مورد استفاده در تحقیق	منبع	نوع عارضه
۱	نقطه شروع مسیر	برداشت صحراوی با GPS	نقطه ای
۲	نقطه پایان مسیر	برداشت صحراوی با GPS	نقطه ای
۳	زمین‌لغزش	برداشت صحراوی با GPS	نقطه ای
۴	رودخانه	نقشه رقومی توپوگرافی ۱:۲۵۰۰۰	خطی
۵	جاده	نقشه رقومی توپوگرافی ۱:۲۵۰۰۰	خطی
۶	گسل	نقشه زمین‌شناسی ۱:۱۰۰۰۰	خطی
۷	زمین‌شناسی	نقشه زمین‌شناسی ۱:۱۰۰۰۰	ناحیه‌ای
۸	کاربری اراضی	نقشه کاربری اراضی منطقه ۱:۵۰۰۰۰	ناحیه‌ای
۹	شب و جهت شب	مدل ارتفاع رقومی (DEM) ۲۰ متر منطقه	ناحیه‌ای

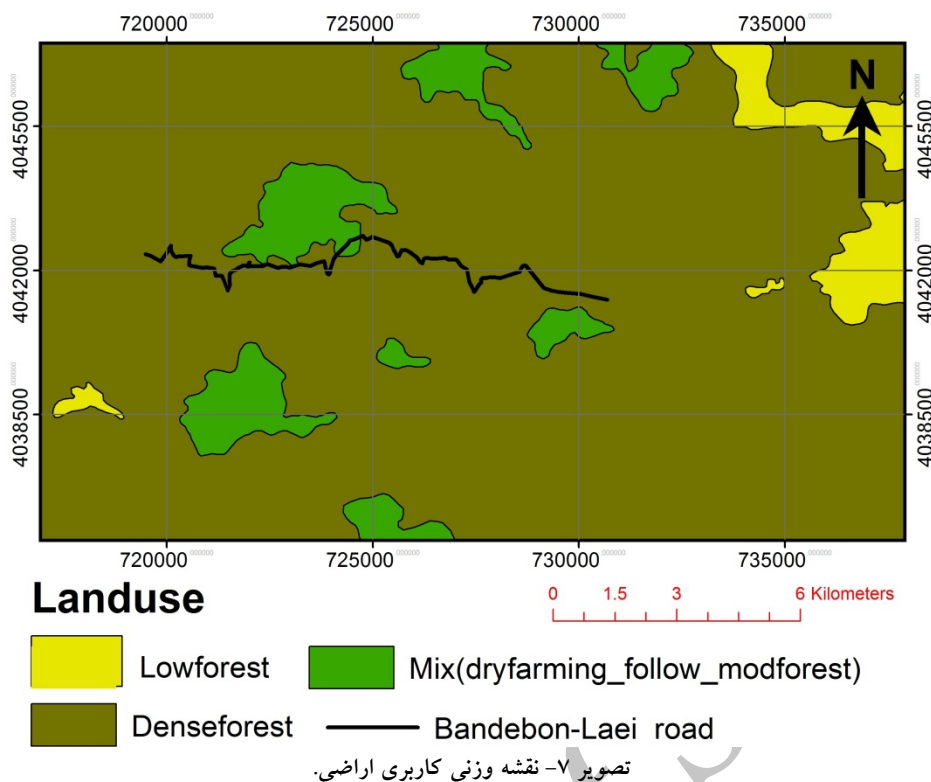


تصویر ۳- نقشه وزنی فاصله از آبراهه.



تصویر ۴- نقشه وزنی فاصله از گسل.





$$Darea = A/B * 1000$$

رابطه (۱)

$$Warea = Darea - (C/D * 1000)$$

رابطه (۲)

=A مساحت لغزش‌های هر واحد

=B مساحت هر واحد

=C مساحت کل لغزش در حوزه

=D مساحت کل حوزه

=Darea تراکم سطح

=Warea وزن تراکم سطح

با توجه به رابطه ۱، برای محاسبه وزن تراکم سطح در ابتدا تراکم زمین لغزش‌ها در هر کلاس به دست می‌آید. برای به دست آوردن وزن اولیه (Darea)، نتیجه حاصل از رابطه ۱ در عدد ۱۰۰۰ ضرب می‌شود. در رابطه ۲ وزن نهایی هر کلاس از هر لایه (Warea) تراکم کل زمین لغزش‌ها، از نسبت کل زمین لغزش‌های منطقه به کل مساحت منطقه به دست آمده و نتیجه در عدد ۱۰۰۰ ضرب می‌شود. این مقدار از وزن اولیه (Darea) که در رابطه ۱ محاسبه شده بود کم می‌گردد. در نهایت برای تهیه نقشه پهنه‌بندی، نقشه‌های ساخته شده بر اساس وزن به دست آمده تلفیق شده و از جمع جبری وزن‌های واحدهای همپوشانی شده، نقشه پهنه‌بندی خطر زمین لغزش به دست می‌آید.

۴-۲- انتخاب روش پهنه‌بندی مناسب و وزن دهنده لایه‌ها بر اساس آن

در این پژوهش، لایه‌های اطلاعاتی فوق با توجه به شرایط زمین‌شناسی و ژئومورفولوژیکی منطقه انتخاب و وارد سیستم جی‌آی‌اس (GIS) شدند. در مرحله بعد، هدف ایجاد لایه‌ای به عنوان لایه مانع (Cost) می‌باشد که بتوان با استفاده از آن و معرفی آن به نرم افزار، مناسب‌ترین مسیر را که لایه مانع کمترین وزن را در آن دارد (به عبارتی پایدارترین و مناسب‌ترین شرایط) مشخص و در نهایت رسم نمود. در ادامه باید با انتخاب یک روش پهنه‌بندی مناسب، نقشه پهنه‌بندی خطر زمین لغزش منطقه را تهیه و به عنوان لایه مانع در ادامه کار مکانیابی مسیر جدید مورد استفاده قرار داد. در این تحقیق برای انجام پهنه‌بندی، از روش دو متغیره تراکم سطح استفاده گردید. در پهنه‌بندی با استفاده از روش آماری دو متغیره، علاوه بر لایه‌های اطلاعاتی حوزه مورد مطالعه، نقشه پراکنش زمین لغزش منطقه نیز نیاز است که قبلاً باید با هر کدام از نقشه‌های پایه حوزه قطع داده شود تا مساحت و تراکم زمین لغزش در هر واحد نقشه به دست آید. در این روش، موقع زمین لغزش به عنوان متغیر واپسیه و هریک از عوامل محیطی مؤثر به عنوان متغیر مستقل در نظر گرفته شدند (Van Westen 1998). در ادامه با استفاده از رابطه‌های ۱ و ۲، وزن کلاسهای هر نقشه (لایه اطلاعاتی) محاسبه شد (جدول ۳).

فتاحی‌بندپی و همکاران: مکانیابی مسیر راه بندین-لایی در جنوب نکا با استفاده از GIS

جدول ۳- اطلاعات و وزنهای مربوط به پارامترهای مورد استفاده در پهنه‌بندی خطر زمین لغزش به روش تراکم سطح.

وزن هر طبقه در روش تراکم سطح	تراکم زمین لغزش در هر طبقه	مساحت هر طبقه (km ²)	تعداد زمین لغزش در هر طبقه	طبقه بندی لیتوژی
-۴۶/۵	.۰/۰۳۲۰	.۳۱/۳	۱	K2^lm
.۷/۱	.۰/۰۸۴۶	.۱۳۰/۱	۱۱	M^m,s,l
.۲۳/۹	.۰/۰۱۲۴	.۷۸/۱	۸	Pe^ml
-۷۸/۵	.۰	.۱۵
وزن هر طبقه در روش تراکم سطح	تراکم زمین لغزش در هر طبقه	مساحت هر طبقه (km ²)	تعداد زمین لغزش در هر طبقه	طبقه بندی فاصله از آبراهه (m)
.۴/۶	.۰/۰۸۳۱	.۱۳۲/۴	۱۱	۰-۳۰۰
.۱۲/۹	.۰/۰۹۱۴	.۶۵/۷	۶	۳۰۰-۶۰۰
-۱۵/۹	.۰/۰۶۲۶	.۴۸	۳	۶۰۰-۱۲۰۰
-۷۸/۵	.۰	.۸/۹	.	>۱۲۰۰
وزن هر طبقه در روش تراکم سطح	تراکم زمین لغزش در هر طبقه	مساحت هر طبقه (km ²)	تعداد زمین لغزش در هر طبقه	طبقه بندی فاصله از گسل (m)
.۹۲/۳	.۰/۱۷۰۸	.۹۹/۵	۱۷	۲۳۰۰-۰
-۹/۶	.۰/۰۶۸۹	.۴۳/۵	۳	۲۳۰۰-۵۲۰۰
-۷۸/۵	.۰	.۳۷/۷	.	۵۲۰۰-۸۲۰۰
-۷۸/۵	.۰	.۷۴/۱	.	>۸۲۰۰
وزن هر طبقه در روش تراکم سطح	تراکم زمین لغزش در هر طبقه	مساحت هر طبقه (km ²)	تعداد زمین لغزش در هر طبقه	طبقه بندی فاصله از جاده (m)
۱۰۹/۳	.۰/۱۸۷۸	.۱۰۶/۵	۲۰	۵۵۰-۰
-۷۸/۵	.۰	.۷۷/۴	.	۵۵۰-۱۳۰۰
-۷۸/۵	.۰	.۴۰/۵	.	۱۳۰۰-۲۳۰۰
-۷۸/۵	.۰	.۳۱/۴	.	>۲۳۰۰
وزن هر طبقه در روش تراکم سطح	تراکم زمین لغزش در هر طبقه	مساحت هر طبقه (km ²)	تعداد زمین لغزش در هر طبقه	طبقه بندی شیب (درجه)
.۵۵/۶	.۰/۱۳۴۰	.۵۲/۲	۷	۰-۸
.۶۵	.۰/۱۴۳۵	.۶۹/۷	۱۰	۸-۱۳
-۶۴/۴	.۰/۰۱۴۱	.۷۱/۱	۱	۱۳-۱۸
-۳۸/۶	.۰/۰۳۹۹	.۵۰/۱	۲	۱۸-۲۵
-۷۸/۵	.۰	.۱۱/۸	.	>۲۵
وزن هر طبقه در روش تراکم سطح	تراکم زمین لغزش در هر طبقه	مساحت هر طبقه (km ²)	تعداد زمین لغزش در هر طبقه	طبقه بندی کاربری زمین
-۲۰/۸	.۰/۰۵۷۷	.۲۵۵/۲	۱۳	جنگل مترکم
.۲۹۸/۳	.۰/۰۳۷۶۷	.۱۸/۶	۷	جنگل تنک-کشاورزی
-۷۸/۵	.۰	.۱۰/۷

با بررسی اطلاعات به دست آمده در جدول ۳ مشاهده می‌شود که لایه‌های اطلاعاتی فاصله از جاده، فاصله از گسل و همچنین فاصله از آبراهه مشاهده می‌شود که بیشترین تراکم زمین لغزش در لایه اطلاعاتی لیتوژی، واحدهای مارنی ml و Mmsl به ترتیب مستعدترین سازندهای منطقه از لحاظ موقعه زمین لغزش هستند که مسیر مورد مطالعه نیز از میان این دو سازنده عبور می‌کند. در مورد

کم طبقه بندی شد (تصویر ۸). این لایه در ادامه به عنوان لایه مانع (Cost) مورد استفاده قرار گرفت.

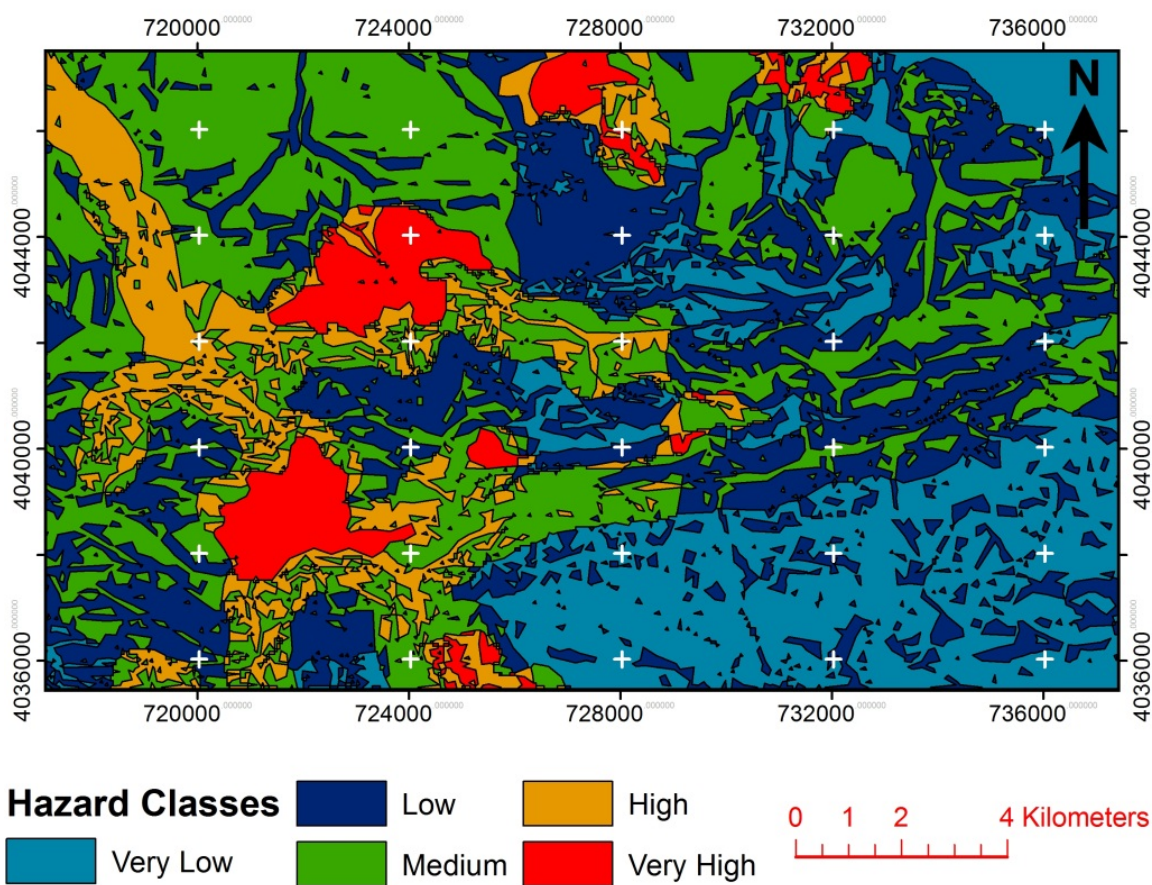
۱۴- معرفی لایه مانع (Cost) و نقطه شروع مسیر و به دست آوردن دو لایه اطلاعاتی دیگر

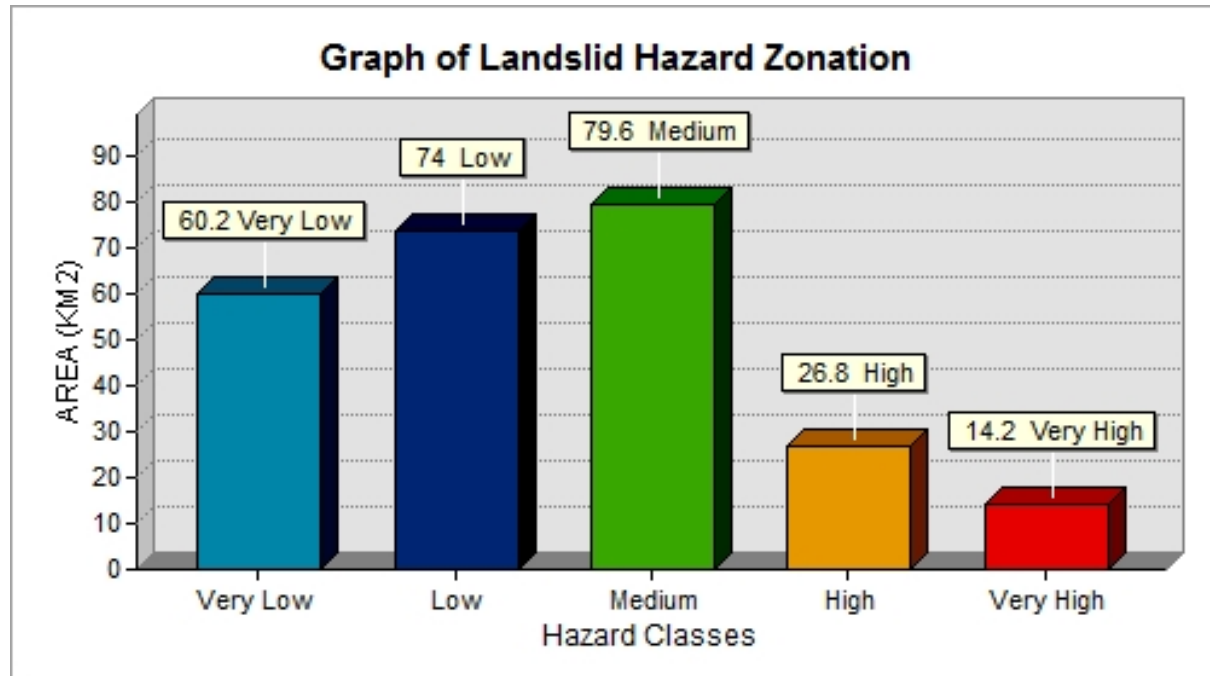
در پهنه‌بندی خطر زمین لغزش در لایه رسترن بیشترین امتیاز به بدترین شرایط تعلق دارد (یعنی همان ویژگی که این نقشه را به عنوان لایه مانع برای ادامه کار مناسب می‌سازد). در مرحله بعد برای تکمیل اطلاعات مورد نیاز به منظور پیدا کردن کوتاه‌ترین و مناسب‌ترین مسیر، با معرفی این لایه به عنوان لایه مانع (Cost) به نرم افزار و همچنین تعیین نقطه شروع مسیر، با استفاده از امکانات GIS دو لایه رسترن (Cost Weighted Distance) و وزن دار دیگر به نام فاصله از مانع (Cost Weighted Direction) به دست آمد. دو لایه فاصله از مانع و جهت مانع دارای ویژگی‌هایی هستند که به ترتیب در پیدا کردن کوتاه‌ترین فاصله و مناسب‌ترین جهت با توجه به موانع موجود (کلاسهای بالای خطر در نقشه پهنه‌بندی) برای یافتن مسیر مناسب کمک می‌کنند (تصویر ۱۰ و ۱۱).

لغزشی منطقه می‌باشد همچنین موثرترین شیب در رخدادهای لغزشی منطقه کلاس شیب ۸-۱۳ درجه تعیین شد و در لایه اطلاعاتی کاربری زمین بیشترین تراکم زمین لغزش‌ها مربوط به نواحی تغییر کاربری یافته از پوشش جنگلی به زمین‌های کشاورزی و جنگل‌های تنک شده می‌باشد.

۱۵- تلفیق لایه‌های وزن دهنده و تهیه نقشه پهنه‌بندی آن فطر از مین لغزش و طبقه‌بندی آن

در ادامه بر اساس توضیحات ارائه شده در مورد روش تراکم سطح در بخش قبل و با استفاده از رابطه ۲، تمام لایه‌های اطلاعاتی مورد استفاده (به جز لایه اطلاعاتی جهت شیب که با مشخص شدن تأثیر کم آن در رخدادهای لغزشی منطقه در مراحل اولیه کار تحقیق حذف شد) در این مطالعه طبق جداول ۳ امتیاز دهی شدند. سپس اطلاعات به دست آمده در سیستم جی‌آی‌اس (GIS) با هم ترکیب شده و نقشه وزنی تجمعی پهنه‌بندی خطر زمین لغزش به دست آمد. در نهایت با توجه به درصد فراوانی تجمعی پیکسل‌ها، نقشه پهنه‌بندی نهایی در پنج کلاس خطر خیلی بالا، خطر بالا، خطر متوسط، خطر کم و خطر خیلی

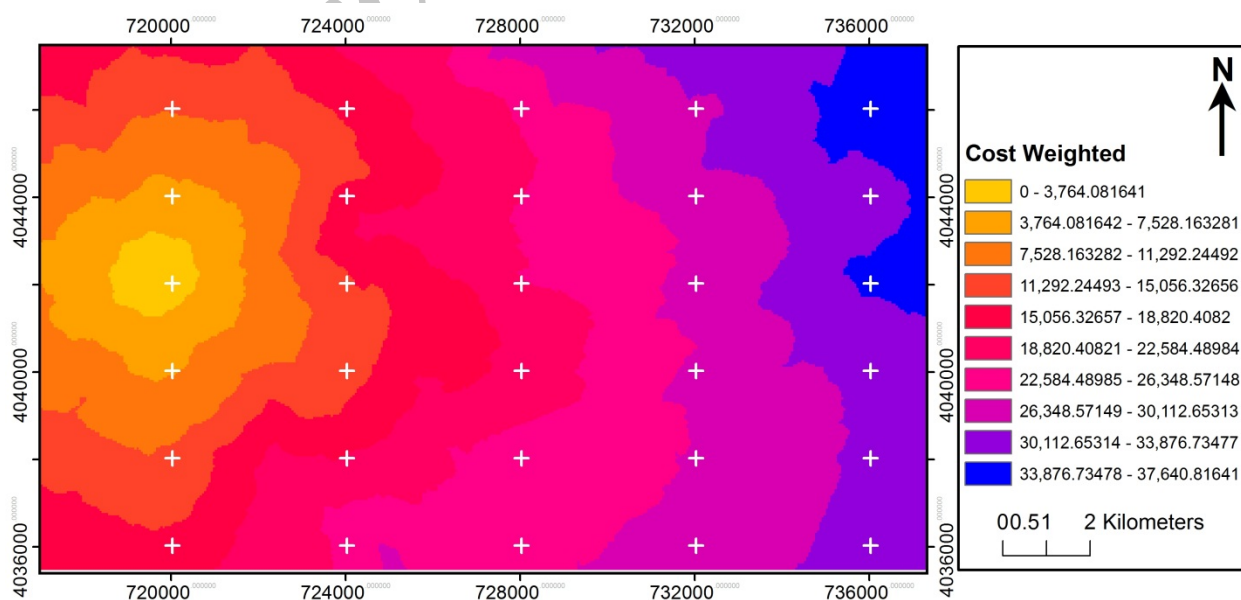




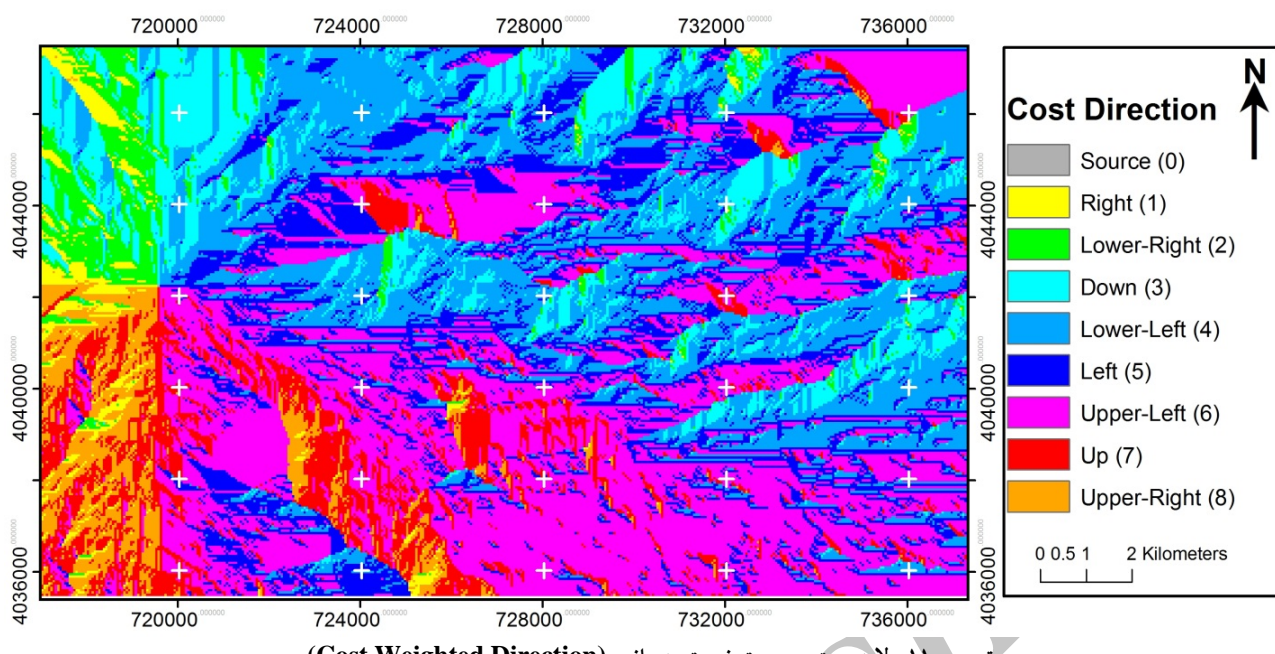
تصویر ۹- مساحت هر یک از کلاسهای خطر در نقشه بهنه‌بندی خطر زمین لغزش.

جدول ۴- مساحت و درصد مساحت هر یک از کلاسهای خطر.

درصد مساحت	مساحت (km ²)	کلاسهای خطر
۲۳/۱	۶۰/۲	خیلی کم
۹/۱	۷۴	کم
۲۱/۳	۷۹/۶	متوسط
۱۰/۵	۲۶/۸	زیاد
۵/۶	۱۴/۲	خیلی زیاد



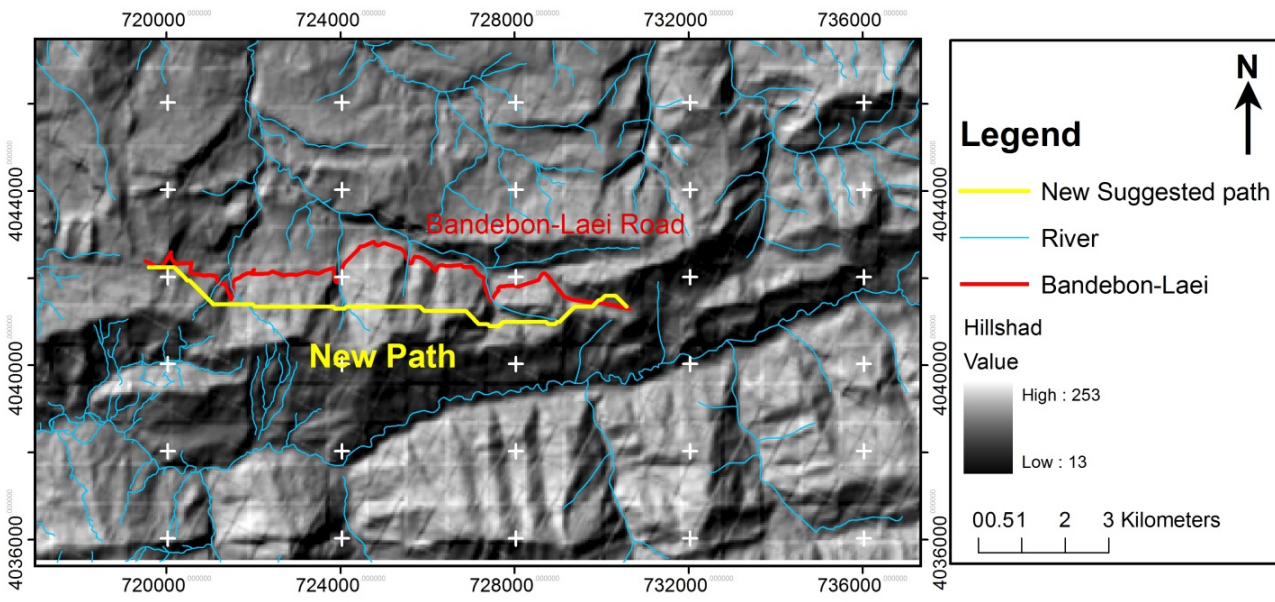
تصویر ۱۰- لایه رسترن فاصله از مانع (Cost Weighted Distance)



به وزن و ارزش لایه مانع می‌باشد، فاصله و جهت مناسب بین دو نقطه شروع و پایان مسیر به وسیله نرم افزار تشخیص داده شد. همچنین لایه رقومی کوتاهترین و مناسب‌ترین مسیر با توجه به شرایط تعریف شده به دست آمد (تصویر ۱۲). در این روش فاصله مستقیم نیست و موانع موجود در مسیر پیکسل تا منع در نظر گرفته می‌شوند.

۴-۵- تعیین مسیر مجدد با استفاده از اطلاعات به دست آمده

در نهایت با تعیین نقطه پایان مسیر یا هدف و معرفی دو لایه وزن دار (Cost Weighted Distance) و جهت مانع (Cost Weighted Distance) به نرم افزار آرک جی‌ای اس (Arc GIS) که در واقع مشخص کننده فاصله‌ها و جهت‌های وزن دهنده با توجه



پژم، م.، ۱۳۷۵، "پنهن بندی خطر حرکتهای توده‌های در حوضه آبخیز الموت رود"، پایان نامه کارشناسی ارشد آبخیزداری، دانشکده منابع طبیعی دانشگاه تهران، ۴۰ ص.

جلالی، ن.، ۱۳۸۱، "ازیابی روش‌های متداول پنهن بندی خطر حرکات توده‌های و معروفی روش سازگار در اقلیم نیمه مرطوب حوضه آبخیز طالقان"، گزارش نهایی طرح تحقیقاتی، شماره ثبت ۱۳۳۶۰، پژوهشکده حفاظت خاک و آبخیزداری.

حق شناس، ا.، ۱۳۷۴، "پنهن بندی خطر زمین لغزش و ارتباط آن با تولید رسوب در طالقان"، پایان نامه کارشناسی ارشد زمین شناسی مهندسی دانشگاه تربیت مدرس، ۱۱۳ ص.

درویش‌زاده، ع.، ۱۳۸۰، "زمین‌شناسی ایران"، انتشارات امیرکبیر، ۹۰۲ ص.

رهنماد، ج.، یادگارزائی، م.ح. و کنگی، ع.، ۱۳۸۹، "پنهن بندی خطر زمین لغزش در منطقه اسکل آباد خاش با استفاده از روش آماری دو متغیره و سیستم اطلاعات جغرافیایی"، فصلنامه زمین‌شناسی کاربردی دانشگاه آزاد اسلامی واحد زاهدان، سال ۶ (۴): ۲۷۷-۲۵۷.

سفیدگری، ر.، ۱۳۸۱، "ازیابی روش‌های پنهن بندی خطر زمین لغزش در مقیاس ۱:۵۰۰۰۰ (مطالعه موردنده دماوند)", پایان نامه کارشناسی ارشد، دانشکده منابع طبیعی دانشگاه تهران، ۱۵۹ ص.

سازمان جغرافیایی نیروهای مسلح کشور، ۱۳۸۴، "نقشه‌های توپوگرافی رقومی ۱:۵۰۰۰۰۰"، ثبت سوچلام، برگ شماره ۶۷۶۲NW شیت بهشهر، برگ شماره ۶۷۶۳SW، شیت نکا، برگ شماره ۶۶۶۲SE، شیت سادات محله، برگ شماره ۶۶۶۲NE.

سیارپور، م.، ۱۳۷۸، "پنهن بندی پتانسیل خطر زمین لغزش در جنوب خلخال-استان اردبیل"، پایان نامه کارشناسی ارشد، دانشکده منابع طبیعی، دانشگاه تهران، ۹۳ ص.

عنایتی مقدم، ع.، قاضی فرد، ا.، صفائی، ه. و شیرانی، ک.، ۱۳۹۰، "ازیابی عوامل و ارائه راهکار جهت تشییت زمین لغزش در منطقه پادنای سمیرم"، فصلنامه زمین‌شناسی کاربردی دانشگاه آزاد اسلامی واحد زاهدان، سال ۷ (۱): ۵۲-۶۱.

فتاحی‌بندی، م.، ۱۳۸۶، "پنهن بندی خطر ناپایداری دامنه‌ها در حوزه آبریز بابلرود"، پایان نامه کارشناسی ارشد، دانشگاه آزاد اسلامی واحد علوم و تحقیقات تهران، ۲۰۳ ص.

کهی میانجی، ی.، ۱۳۷۷، "تحلیل چند متغیره آماری احتمال وقوع زمین‌لغزش با استفاده از سنجش از دور و سیستم اطلاعات جغرافیایی در منطقه طالقان"، پایان نامه کارشناسی ارشد سنجش از دور، دانشکده جغرافیا، دانشگاه تربیت مدرس، ۲۰۴ ص.

متکان، ع.، سمعیا، ج.، پورعلی، س.ح. و صفائی، م.، ۱۳۸۸، "مدل‌های منطق فازی و سنجش از دور جهت پنهن بندی خطر زمین لغزش در حوضه آبخیز لاجیم"، فصلنامه زمین‌شناسی کاربردی، سال ۵ (۴): ۳۲۵-۳۱۸.

نیک‌اندیش، ن.، ۱۳۷۸، "بررسی نقش عوامل هیدرولوژیک در وقوع حرکات توده‌ای با توجه به نقش رسوب‌زائی آنها در حوضه کارون"،

با توجه به تصویر ۹ و داده‌های ارائه شده در جدول ۴، مشاهده شد که ۵/۶ درصد از مساحت منطقه در پنهن خطر خیلی زیاد و ۱۰/۵ درصد از منطقه در پنهن خطر زیاد قرار گرفته است. با بررسی لایه‌ها و پارامترهای مورد استفاده در پنهن بندی مشاهده شد که این دو پنهن با خطر بالا در اطراف جاده‌ها و مناطق جنگلی تخریب شده و در حال کشاورزی متمرکز شده‌اند.

۵- نتیجه‌گیری

با بررسی نتایج به دست آمده از این تحقیق مشخص شده است که منطقه مورد مطالعه به طور کلی از نظر ذاتی مستعد وقوع زمین لغزش می‌باشد ولی آنچه باعث تحریک بیشتر ناپایداریهای دامنه‌ای در طی سال‌های گذشته شده است تغییرات وسیع کاربری زمین‌های جنگلی و احداث جاده بدون در نظر گرفتن خصوصیات زمین‌شناسی مهندسی منطقه مورد مطالعه می‌باشد. مسیر مورد مطالعه از سنجگاه‌های مارنی عبور می‌کند. این نوع سنجگاه‌ها به دلیل دارا بودن کانی‌های رسی و زهکشی ضعیف آب (با توجه به بالا بودن بارش در منطقه) باعث بالا رفتن فشار آب منفذی و ناپایداری دامنه‌ها می‌گردد. بیشترین تراکم زمین‌لغزش در واحدهای مارنی Mmsl و PE ml مشاهده شده که این دو واحد سنجگی از مستعد ترین سازندهای لغزشی در استان مازندران به شمار می‌آیند. علاوه بر موارد ذکر شده نتایج به دست آمده نشان می‌دهد که وجود گسل، آبراهه و جاده نقش مثبت در وقوع زمین‌لغزش‌های منطقه داشته‌اند. شبیه موثر در وقوع اکثر زمین‌لغزش‌ها بین ۸ تا ۱۳ درجه می‌باشد. بررسی نقشه پنهن بندی خطر زمین‌لغزش نشان می‌دهد که ۵/۶ درصد از مساحت منطقه در پنهن خطر خیلی زیاد و ۱۰/۵ درصد از منطقه در پنهن خطر زیاد قرار گرفته است. بیشترین مساحت از منطقه را پنهن خطر متوسط (۳۱/۳ درصد) تشکیل می‌دهد و در نهایت پنهن‌های خطر کم و خیلی کم به ترتیب ۲۹/۱ و ۲۳/۶ درصد منطقه را پوشش می‌دهند. پنهن‌های با خطر زیاد و خیلی زیاد در اطراف مناطق جنگلی تخریب شده و با کاربری فعلی کشاورزی و جاده‌های منطقه متمرکز شده‌اند.

مراجع

- باقری‌مهرورز، ا.، ارومیه‌ای، ع. و نیکودل، م.ر.، ۱۳۸۸، "پنهن بندی خطر ناپایداری دامنه‌ها در تاقدیس کنگان به روش آنبالاگان"، فصلنامه زمین‌شناسی کاربردی، سال ۵ (۳): ۲۱۲-۲۰۶.
- بداغی، ب.، ۱۳۷۶، "پنهن بندی خطر زمین‌لغزش در بخشی از حوضه شاهرود"، پایان نامه کارشناسی ارشد آبخیزداری، دانشکده منابع طبیعی دانشگاه تهران، ۱۰۱ ص.

- Uromeihy, A. & Safaei, M., 2000,** "Effect of landuse on the development of slope instability in the neka-rood Watershed, Iran", *J. Nepal Geological Soc.*, Vol. 22: 421-428.
- Wang, W. D., Guo, J., Fang, L. G. & Chang, X. S., 2011,** "A subjective and objective integrated weighting method for landslides susceptibility mapping based on GIS", *Environmental Earth Sciences*, Vol. 65 (6): 1705-1714.
- Yong, Li., Xiaoyi, F. & Genwei, C., 2006,** "Landslide and rock fall distribution by reservoir of stepped hydropower station in the Jinsha River", *Journal of Natural Sciences, Wuhan University Journals Press*, Vol. 11 (4): 801-805.
- رساله دکتری هیدرولوژی، دانشگاه اصفهان، ۱۸۱ ص.
وحدتی دانشمند ف. و سعیدی ع.، ۱۳۶۹، "قشه زمین‌شناسی ساری، مقیاس ۱:۲۵۰۰۰۰"، سازمان زمین‌شناسی و اکتشافات معدنی کشور.
- Backhaus, E. & Rahnama-Rad, J., 1991,** "Tektonik der Messeler Scholle, Verwitterbarkeit des Olschiefers und hydrogische Einflusse auf die Rutschgefahrung ihrer Gesteinsformationen, insbesondere der mitteleozanen Messeler Schiefer", *Courier Forschungsinstitut Senckenberg*, Vol. 139:1-69.
- Chow, V. T., Maidment, D. R. & Mays, L. W., 2009,** "Applied Hydrology", cGraw-Hill, NY, 554 pp.
- Jaiswal, P., van Westen, C. J. & Jetten, V., 2011,** "Quantitative assessment of landslide hazard along transportation lines using historical records", *Landslides*, doi: 10.1007/s10346-011-0252-1.
- Lan, H. X., Zhou, C. H., Wang, L. J., Zhang, H. Y. & Li, R. H., 2004,** "Landslide hazard spatial analysis and prediction using GIS in the Xiaojiang watershed", *Engineering Geology in China*, Vol. 76 (1-2): 109-128.
- Nandi, A. & Shakoor, A., 2010,** "A GIS-based landslide susceptibility evaluation using bivariate and multivariate statistical analyses", *Engineering Geology*, Vol. 110: 11-20.
- Rossi, M., Guzzetti, F., Reichenbach, P., Mondini, A. C. & Peruccacci, S., 2010,** "Optimal landslide susceptibility zonation based on multiple forecasts", *Geomorphology*, Vol. 114 (3): 129-142.
- Pradhan, B. & Lee, S., 2010a,** "Landslide susceptibility assessment and factor effect analysis: backpropagation artificial neural networks and their comparison with frequency ratio and bivariate logistic regression modelling", *Environmental Modelling and Software*, Vol. 25 (6): 747-759.
- Pradhan, B. & Lee, S., 2010b,** "Regional landslide susceptibility analysis using backpropagation neural network model at Cameron Highland, Malaysia", *Landslides*, Vol. 7 (1): 13-30.
- Sarkar, S. & Kanungo, D. P., 2003,** "Landslides in relation to terrain parameters, A remote Sensing and GIS approach", *Proceeding of Map India 2002*, 5 pp.
- Suh, J., Choi, Y., Roh, T. D., Lee, H. J. & Park, H. D., 2011,** "National-scale assessment of landslide susceptibility to rank the vulnerability to failure of rock-cut slopes along expressways in Korea", *Environmental Earth Sciences*, Vol. 63 (3), 619-632.
- Van Westen, C. J., 1998,** "GISSIZ: Geographic information systems in slope instability zonation, Case study of the Kakani area, Nepal", Vol. I, II, Netherlands, Enschede, 63 pp.
- Van Westen, C. J. & Soeters, R., 1998,** "Landslidehazard mapping", *The Kakani Area (Nepal) 1, GISSIZ, Version 2, (ITC)*, Netherlands, Enschede
- Varnez, D. J., 1984,** "Landslide hazard zonation—A review of principles and practice: United Nations Educational", *Scientific and Cultural Organization, Paris*, 63 pp.